

高含水率汚泥の脱水に関する一考察

東北大学工学部 学生員 ○後藤光龜
 正員 佐藤敦久
 学生員 中村晋

1 はじめに 上水汚泥や水酸化物等の高含水率汚泥を凍結融解処理すると、結晶構造が変化し粒子が粗大化し脱水速度の向上等の効果が得られる。しかし、未処理と処理後の水酸化物を高い圧力(20 kg/cm²程度)で圧搾すると、ケーキの最終含水率は処理後の方が高くなるという報告がある。¹⁾そこで、未処理と凍結融解処理後の水酸化アルミニウムについて、圧密透過実験および沈降実験を行ない、両者の脱水特性について検討を加えてみた。

2 実験装置および方法 実験試料の Al(OH)_3 は、硫酸バントを蒸留水に溶かし、NaOH溶液を滴下攪拌しながら中和させてつくり、沈殿懸濁して実験に供した。この試料を -20[°C]で凍結させ、室温で融解させた。また、未処理および処理後の試料と処理後の試料を家庭用ミキサーでそれぞれ、5、70分攪拌し粗大化した粒子を破壊した試料について沈降実験を行なった(恒温槽温度 12°C、試料量 1L、容器 1L(内径 60mm))。圧密透過実験装置は、圧密箱(内径 60mm)を各荷重段

階の平衡時に透水実験を行なうように改良してあり、排水は両面から行なった。この実験装置を用い、初期試料厚を 4.0[cm] とし表に示す各試料について圧密透過程実験を行なった。

3 実験結果および考察 表に初期条件と結果を示す。以後、実験番号[A]~[F]を単に [A]~[F] と記す。沈殿懸濁時の上澄水中溶解物質量(Na₂SO₄量等)は未処理および凍結処理後もほぼ同じで、含水率 $w_f = 97.8\%$ (乾燥残留物標準)まで密度 $P_{fr} = 1018[\text{kg}/\text{m}^3]$ であった。また、これらの結果より Al(OH)_3 の真密度 ρ_0 を算定すると 2.98[kg/m^3] であった。図1、図2に各試料の沈降曲線を示す。

凍結後の[C][D]では、速達沈降区間はほぼ等しいが、[D]の堆積層は沈降開始 5 分間に急激に増加する。[C][D]の粒度分布が等しいならば図中の破線のように堆積が進むはずであるから、原液の初期濃度が大きければ凍結後の粒子が粗大化(堆積層)が大きくなることが知れる。また、沈降容積は[A]、[B]とともに 2 時間ほどで平衡に達した。[A]と[F]の試料を顕微鏡で観察すると[F]にわずかに破壊されずに残った微粒子が存在するが視覚的にはほぼ同じで、沈降初期では[F]は[A]に比べて沈降が遅いほどである。未処理の[A]は 20 時間ほどで平衡状態になるが、凍結して結晶構造が変化した[B]は長く等速沈降後に平衡に達する。最終沈降容積は [A] > [F] > [E] > [C] となり、未処理の[A]が最も水分を含有する。図3に、圧密透過程実験時のある荷重段階初期と圧密度 $P = 0\%[kg/cm^2]$ 、平衡時間 $T = 100\text{[min]}$ とした場合の H と時間 t の関係を示した。この図から、[B]は [F] に比べて長い期間にわたり直線関係を示し、3 次元と脱水時間が放物線関係にあることを示す。しかし、[B]は脱水開始 1 分以内で圧密度 $P = 90\%[kg/cm^2]$ 程度となり、荷重載荷直後に急激に脱水され、1 分以後はゆるやかに平衡状態に達することが知れる。

表 初期条件および実験結果

実験条件	初期みかけ密度 P_{fr} [kg/m^3]	初期含水率 w_0 [%]	最終含水率 w_f [%]	最終堆積層 L_f [cm]	最終含水率 w_f [%]
A 未処理	1.0336	95.79	0.367	75.11	
B 未処理	1.0564	92.33	0.810	76.75	
C A E凍結融解	1.1235	83.86	2.124	74.58	
D B E凍結融解	1.1391	81.93	2.421	73.21	
E C E凍結融解	1.0750	89.83	1.791	72.63	
F C E凍結融解	1.0474	93.77	0.524	68.56	

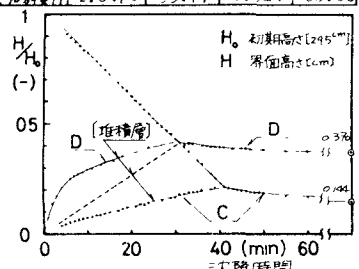


図-1 沈降曲線(凍結融解後)

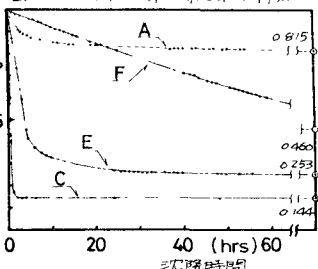


図-2 沈降曲線(未処理、処理後)

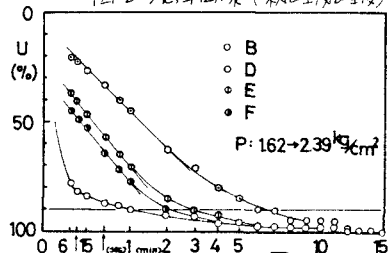


図-3 圧密度(P)と脱水時間(t)

[E], [F] は兩者の中間の現象を示す。これら現象は名荷重段階と認められた。未処理の $\text{Al}(\text{OH})_3$ はコロイド性を呈し、その網状構造中に含有されていける水分が圧力増加によつて徐々に脱水されると考えられる。凍結すると氷の成長に伴ひこの水分は排斥されるようになり、粗大化した粒子間の空隙に比較的の自由な状態で含まれる。この空隙中の水分は圧力の増加直後に相対的に大きな空隙部分が圧縮されて比較的の簡単に脱水され、以後小孔の空隙部分への水分がゆるやかに脱水されて、ある荷重に

対する平衡空隙に達すると考えられる。図-4は、間隙比 $e(-)$ と圧密圧力 P [kg/cm^2] の関係を示したもので、 $e = e_0 P^{-c_e}$ (e_0, c_e 定数) の式が成立する。このとき、空隙率 $n = \% (1+e)^{-1}$ となる。圧縮性は、未処理の [A], [B] や凍結後の [C], [D] よりも大きく、2倍以上の値を示す。間隙比は、圧力 $5[\text{kg/cm}^2]$ 以下では未処理の方が大きいが、 $5[\text{kg/cm}^2]$ 以上では凍結処理の方が大きくなる傾向を示す。このときの間隙比は約 7.7 (空隙率 $n = 0.89\%$, 含水率 $w = 72.1\%$) である。したがって、ケイの最終含水率だけをみると、 $5[\text{kg/cm}^2]$ 以上の圧力を脱水する場合、未処理のままの $\text{Al}(\text{OH})_3$ の方が低い含水率のケイが得られると言えられる。[E], [F] と [A], [B] に比べて間隙比の値は小さくなるが、圧縮性は大きくなり [A], [B] の値に近づく。図-5は、 $20[\text{kg}]$ 時に換算した透水係数 R_{20} [cm/s] と圧密圧力 P の関係を示す。未処理の $\text{Al}(\text{OH})_3$ とは、[B] や [A] よりもわずかに透水性がある。凍結後のものより、粗大化の大きい [D] や [C] よりも透水性があり。[C] と [D] とは、圧力が増加するにつれて両者の透水性の差は大きくなる。最終荷重段階 ($P = 3.55[\text{kg/cm}^2]$) 時では、[C] は [A] の約 40 倍の透水性を示すのに對し、[D] は [B] の約 150 倍を示す。したがって、初期濃度を大きくして凍結融解させれば、透水性は著しく改善されることに至る。また、圧力の増加に伴い、未処理と凍結後の透水性の差は小さくなる傾向にあるので、圧力を大きくした場合には凍結処理の効果はよほど認めないと考えられる。[D] は、未処理のものより透水性はよいが、[F] とは異くなる。これは、粗大粒子を破壊した [D], [F] では、微粒子になつても網状構造にはもどらないので、粒子間の水分は脱水されやすく、圧力の増加に伴う間隙が減少し透水性が悪くなるためと考えられる。また、最終充填容積の小さな [C] が [E], [F] よりも脱水時に間隙比が大きいのは、粗大化した粒子間の間隙中に脱水されない微粒子あるいは水分が残るためと考えられる。しかし、実際にはミキサーのような強烈な攪拌力が与えられるこことはない。凍結処理後の $\text{Al}(\text{OH})_3$ が未処理のものより透水性が悪くなることはない。凍結処理後の $\text{Al}(\text{OH})_3$ は脱水速度が非常に大きいために高い圧力時では比抵抗値を求めるこことは一般に困難であるが、各荷重段階平衡時の空隙率と透水量から Kozeny-Carman の透過式が成立すると假定して比抵抗値を算定し、図-6 に示す。圧力 $0.5 \sim 10[\text{kg/cm}^2]$ の範囲で未処理の比抵抗値は 10^{12} [cm/s] 程度であるから、凍結後は約 $1/100$ 程度になる。

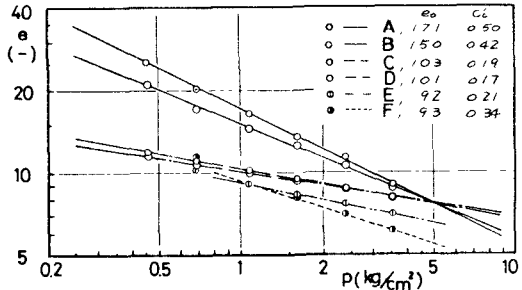


図-4 間隙比 e と圧密圧力 P

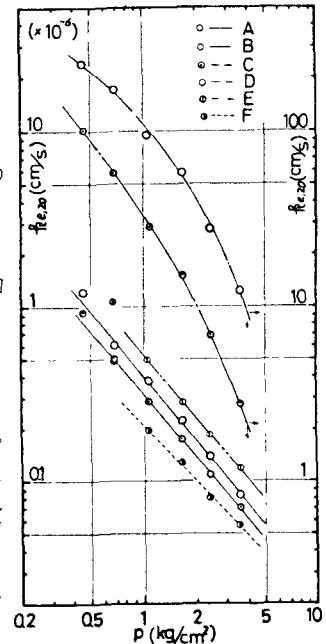


図-5 透水係数 R_{20} と圧密圧力 P

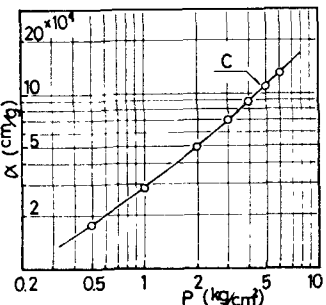


図-6 比抵抗 (cm^{-1}) と圧密圧力 P

参考文献) 1) 大井, 長谷川「複合化物の圧縮による粒径の変化」水処理技術 No.11, 1977 2) 佐藤, 斎藤, 長谷川「土壤の物理的性質と凍結融解」第 52.5 全国植研究発表会講演集